

大阪大学工学部 正員 中江浩二
大阪大学工学部 正員 稲木 亨

1. まえがき；死水域を有する流速場での水質分散過程の解析においては、死水域の水質貯留効果を表現するための横断方向混合速度ならびに水質滞留時間の定量的評価が極めて重要となる。著者らは昨年の年譲で死水域を一種の貯留輸送タンクとみなすモデル化を行なったが、本報では死水域に沿岸する渦の挙動と主流域側面諸量および死水域の地形形状との関連性を実験的に明らかにするとともに、境界面で仮想して湍列を媒介とする水質混合モデルを考案し、その適合性を検討して報告する。

2. 凹部の渦の挙動と分散特性について；

実験装置および計測方法は前回と同様であり、幅 b 、長さ l の凹部水域を複数個假設して凹部に沿岸する渦によ

表-1 凹部形状($b \times l$)と個数N、単位: cm.

| CASE | 0 | 1 | 2 | 3 | 4 | 5 | 6 | 7 | 8 | 9 |
|------|---|----|----|----|----|-----|----|----|----|----|
| b | 0 | 20 | 10 | 20 | 10 | 20 | 20 | 20 | 20 | 20 |
| l | 0 | 20 | 20 | 20 | 20 | 126 | 62 | 41 | 62 | 41 |
| N | 0 | 6 | 6 | 3 | 3 | 1 | 2 | 3 | 1 | 1 |

る水質捕捉・貯留効果を調べた。主流流速 U_0 は $5.1, 9.01, 18.18 \text{ cm/sec}$ の3種類であり、実験ケースは表-1のとおりである。積定断面上下流端で計測した濃度・時間 ($C-t$) 曲線より Moment 法で算出した分散係数 D を比較すれば、 $U_0 = 18.18 \text{ cm/sec}$ 且つ断面一様の実験ケース D を除いて分散係数 D は Elder の値 $5.93 h D^2$ (ここで、 h は水深、 D は下層流速を示す) よりも大きくなる。また、 D が小さくなれば水平方向の流速分布が不均一となり、凹部内の滞留時間が長くなる可能性が強く、 $D/h D^2$ の値は大きくなる傾向にある。 $C-t$ 曲線の亞度を観察的に把握するため、ピーク濃度と 5% 濃度間の立ち上がり時間と減衰時間との比を求めて図-1 である。 y_m/y_c は上流側に一曲線を入力データとして実測分散係数を用いて推算した下流側 $C-t$ 曲線の形状比であり、 y_m は実測値のそれである。凹部を有しない断面一様な実験ケース 0 では、 y_m/y_c は流速 U_0 に実体せず 1.0 の値をとり、分散係数 D のみで $C-t$ 曲線を推定できることが分かる。他方、 $U_0 = 18.18 \text{ cm/sec}$ の実験ケース 4, 5, 6 を除いて y_m/y_c は 1.0 より大きな値をとり、実測 $C-t$ 曲線はより歪んでいることを示しているが凹部の渦の特性との関連で系統的に論議することに過ぎない。

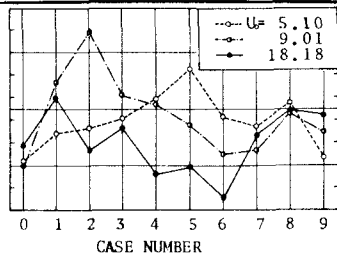


図-1 濃度時間曲線の亞度

3. 凹部内の渦の挙動特性： 上述の $C-t$ 曲線の歪みは tailing 現象と称され、その直接的原因は凹部と主流域間の水質混合速度および水質の凹部内滞留時間である。それらは凹部内に沿岸する代表渦の循環特性と一致的に関連しており、フロートを浮かべてその挙動を数多く追跡することにより平均化した特性を求めて、滞留時間は次元解析から循環係数 Γ のように循環半径を用いて表現されるが、ここで主流域の流況特性は凹部の形状特性を用いて次のようく定義した。

$$\Gamma_E \propto l^2/\varepsilon \propto b^2/h D^2, T_p \propto l^2/\Gamma_E \propto l^2 b/(l^2 + b) D^2$$

ここに、 l^2 は代表渦の流下方向平均渦径である。渦の挙動は不規則であり、また凹部形状によっては二次流が沿岸して循環渦領域外の二次流領域の占める割合が大きくなる。例えば、 $U_0 = 5.1 \text{ cm/sec}$, $b/l = 0.25$ の場合における凹部面積の 40% 近くになることとなり、水質交換に寄与する凹部内面積を $b \times l^2$ で表現した。実測した滞留時間 T_m と Γ_E , T_p を比較したが、 $T_m \sim T_p$ (すなわち b/l が小さい場合) ばかりバラツクのに対し、 $T_m \sim T_p$ (図-2) に示されよううに平行線型關係にあり、循環特性を用いた下流評価が適当である。

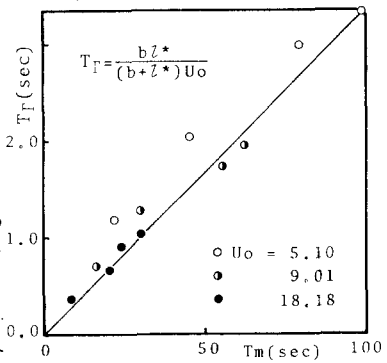


図-2 循環特性時間

思われる。図-3下の T_0 から求めた循環速度 \bar{U}_0 と \bar{U}_P の関係を示したものであり、四部形状比 b/l にトリその定数 α は若干異なるが、 $\bar{U}_0 \propto \bar{U}_P^{\alpha}$ で α の関係式が導かれる。全体として α は 0.75 と 1.0 の値であり、循環速度と主流流速との線型関係にあるとみなし得る。

4. 仮想渦列による水質交換モデル：

水質交換における循環 \bar{U} と主流流速 \bar{U}_P との境界面の乱れを媒介として \bar{U} と \bar{U}_P を考えられるが、いきこの界面の不連続性を滑らかに連絡するためには図-4に示すような仮想渦列 P_s を配列して、流れ場を再現する。すなはち、不連続面を挟む矩形横分路について循環筋をとるなり。渦度 W は $\bar{U}_S / \delta x \cdot \delta y = (\bar{U}_0 - \bar{U}_P) / \delta y$ で表わされ、この仮想渦列の作用による流れ場のために渦内では流速分布が滑らかになつてゐると考えてよい。この渦列は流速の粘性作用を抽象化したものであり、境界面における乱れの生成、あるいは境界面の四部水域への拡大下境界面での渦度 \bar{U}_S の強さで表現できる。ここでは、この渦度の強さの分布を表現する方法として、流速補助 U_{rms} の最大値の四部水域への拡がり角度 θ を用いて定義した。

すなはち、図-4に示す仮想渦について、点 A での接線方向流速 V の主流方向成分が $(\bar{U}_0 - \bar{U}_P) / 2$ なる速度をもつようなる渦を配列することにより得られる横断方向流速成分 V_m が境界面を通じて水質交換に寄与する水質混合速度に相当すると考えられる。 V_m は次式のようになる。

$$V_m = V \cdot \sin \theta = (\bar{U}_0 - \bar{U}_P) / 2 \cdot \tan \theta \quad (1)$$

ついで、この混合速度 V_m および四部の死水域率を考慮して四部内水質濃度 C_d の時間的変化を求める。主流水域での濃度 C_m は物質収支は

$$\frac{dC_d}{dt} = \frac{1}{b l^*} \left(C_m \cdot V_m \cdot \frac{l^*}{2} - C_d \cdot V_m \cdot \frac{l^*}{2} \right) \quad (2)$$

で表わされる。さらに、流れは定常であると假定すれば、連続性より $V_m \cdot l^*/2 - V_m \cdot l^*/2 = 0$ となり。且つ、 $C_m = 0$ とすれば四部内水質濃度 C_d の収支率(初期濃度を C_0 として次式で求まる)。

$$C_d / C_0 = \exp(-V_m / 2b \cdot t) \quad (3)$$

上述水質交換モデルの妥当性を検証するために、2. の渦の循環特性を用いて式(3)より計算した濃度半減時間と実測時間とを比較したのが図-5である。渦が四部全域に十分拡散している $b/l = 1.0$ の場合においてはモデルによる推算値と実測値と極めて一致している。他方 $b/l = 0.5$ の場合においては主流流速 \bar{U}_0 が小さいときに若干の隔たりがあるが、これは二次流の拡散による死水域率の算定、すなはち l^* の評価の誤差によるものと思われる。図-6に四部内濃度の過減特性を比較したもので、曲線(式(3))によく推算値であり、子に図中の黒丸・白丸(b/l がそれぞれ 1.0, 0.5 の実測値である。両者の傾向が極めてよく一致していることからも、仮想渦列を用いた水質交換モデルの妥当性が検証できる。最後に、4 のデータは国立公害研の村岡諸室より提供頂く。末に有益な助言を賜、T=。謝意を表す。

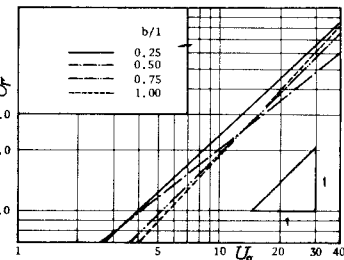


図-3 循環速度 \bar{U}_0 と \bar{U}_P

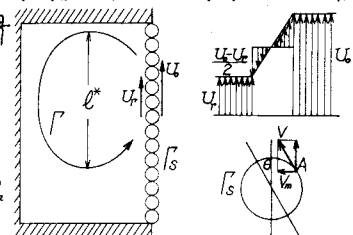


図-4 モデルの概念図

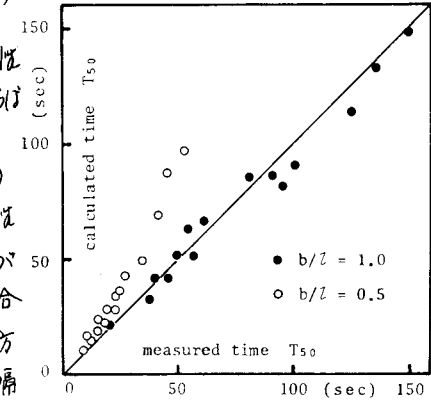


図-5 四部内濃度の半減時間 T_{50}

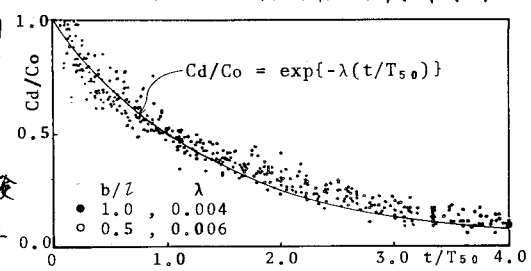


図-6 四部内濃度の過減特性